

## ”المقدّر الحصين لنموذج تجميعي معتمّ شبه معلمٍ“

أ. د. ظافر حسين رشيد  
م. د. عمر عبد المحسن علي  
جامعة بغداد/ كلية الادارة والاقتصاد - قسم الاحصاء

### الخلاصة

النموذج التجميعي المعتم GAM من الممهدات متعددة المتغيرات حديثة الاستعمال في تحليل الانحدار اللامعملي، ولذا تم تكريس هذا البحث لدراسته ولكن بالصيغة الهجينية، أي عند لظاهره التي تغير سلوكها من خطٍ ذات شكل دالي مسبق (معلمٍ)، ولاخطي بشكل غير معلوم (لامعلمٍ) والذي سيكون هنا الشريحة التمهيدية. هذا، بالإضافة الى تقديم مقترن لأيجاد مقدر GAM شبه معلمٍ حصين ومقارنته بأسلوب تكراري وآخر غير تكراري.

### **Abstract**

Generalized Additive Model has been considered as a multivariate smoother that appeared recently in Nonparametric Regression Analysis. Thus, this research is devoted to study the mixed situation, i.e. for the phenomena that changes its behaviour from linear (with known functional form) represented in parametric part, to nonlinear (with unknown functional form: here, smoothing spline) represented in nonparametric part of the model. Furthermore, we propose robust semiparametric GAM estimator, which compared with two other existed techniques.

### 1.1 المقدمة وهدف البحث

بعد النموذج التجميعي المعتم GAM ممهدًا معقولاً بل وجيداً عند حالة وجود أكثر من متغير توضيحي واحد في تحليل الإنحدار اللامعملي. إذ سيتمثل ممهدًا شاملًا Global Smoother يجمع ضمناً التأثيرات الرئيسية Main effects للمتغيرات التوضيحية والممثلة بممهدات موضعية Local Smoothers أحادية المتغير وبصورة تجمييعية Additively.

فإن حالة الإنحدار متعدد المتغيرات، ويكون هناك تغير في سلوك الظاهرة (الدالة) المدروسة بأسلوب معين، أو تكون هناك معلمات مجزأة عن خطية البيانات، أو معرفة غير أكيدة عن الصيغة الدالية المسبقة لجزء من نموذج (سطح) الإنحدار المزعزع استخدامه لتحليل الظاهرة، فسيكون إستعمال نموذجاً هجينًا من معلمٍ ولا معلمٍ، أمراً ممكناً بل وضروري كأحد الحلول العملية الملائمة لهكذا حالات، وهو ما يدعى بنموذج الإنحدار شبه المعلم.

وبالإسناد الى ما تقدم، يمكن إستعمال ما يدعى بـ GAM شبه المعلمٍ، إذ سيتكون من مجموعة جزء دالي وبمعلومات معروفة، وجزء حرّ يتمثل بممهد معين، وسيكون لهذا البحث عبارة عن الشريحة التمهيدية. وبهذا نجمع بين القوة الإستدلالية للجزء المعلمٍ من حيث توفر صفة الخطية المهمة، وبين المرونة العالمية في تقدير الجزء اللامعملي من حيث أفضل توفيق للبيانات عن طريق التمهيد.

ويهدف البحث الى مقارنة الطرائق التكرارية وغير التكرارية لإيجاد مقدر GAM شبه معلمي، فضلاً عن إقتراح طريقة حصينة في حالة الأخطاء العشوائية بتوزيع ملوث.

## 1.2 النموذج التجمعي المعمم شبه المعلمي Semiparametric GAM

قد تظهر في بعض الأحيان، شكوك حول تجانس البيانات في حالات تتوزع زمانياً أو مكانياً أو أن الظاهرة تغير من سلوكها بشكل يدعو إلى التساؤل عن جدوى استعمال نموذجاً معلمياً أو لامعلمياً [13].

$$Y_i = X_i \beta + g(t_i) + \text{error} \quad \dots \quad (1)$$

إذ سيبدو الأمر كأن الجزء المعلمي  $X_i \beta$  يسلك سلوك "قطع" Intercept أو عتبة Threshold تتباين وتتغير بمقدار  $(t_i)$  اللامعلمي [3],[9],[10]. ويعتبر النموذج (1) نقطة التقائه GLIM المعلمي مع GAM اللامعلمي، ولذا يمكن تسميته بـ "GAM شبه معلمي" كذلك. عند استعمال الطرائق الشرانحية في تقدير الجزء اللامعلمي منه، عندنـ سيدعى النموذج (1) بنموذج "الشراحة الجزئية" Partial Splines Model. مع العلم إن التعريم لهذا النموذج يدعى نموذج "الشراحة الهجينة" Hybrid Splines Model.

## 2.2 طرائق تقدير GAM شبه المعلمى

ومن أبرز هذه الطرائق لتقدير (1)، منها ما يأتي في الفقرات اللاحقة.

### 1.2.2 أسلوب Backfitting التكراري

عندما يتم إفتراض أن جميع المركبات الداخلة في GAM هي خطية ماعدا واحدة فقط، فعندنـ يتم اعتبار أنـ Backfitting عملية تكرارية لممهدين فقط هما، الأول: بشكل مسقطي هو:  $S_1 = X(X'X)^{-1}X'$  ، والذي ينتج عنه تقدير OLS أي  $(\hat{X}\beta)$  لواحد أو أكثر من المتغيرات التنبؤية's  $X$ 's لتمثيل مصفوفة التصميم  $X$  ذات الرتبة الكاملة. وأما الآخر: فهو الممهد  $S_2$  والذي ينتج عنه تقدير الشريحة التمهيدية  $\hat{g}$  . فيمكن مطابقة النموذج (1)، وذلك بتقدير  $\beta$  و  $g$  من خلال تصغير المربعات الصغرى الجزئية الموزونة WPLS، وكالآتي:

$$S(\beta, g) = \sum_{i=1}^n \{Y_i - X'_i \beta - g(t_i)\}^2 + \lambda \int g''^2(t) dt \quad \dots \quad (2)$$

وعندما تكون  $t_i$  جميعها مختلفة - أي لا يوجد "ties" - فسيكون حل المعادلات الآتية، كالتالي:

$$(3) \begin{bmatrix} X'X & X' \\ X & I + \alpha K \end{bmatrix} \begin{bmatrix} \beta \\ g \end{bmatrix} = \begin{bmatrix} X' \\ I \end{bmatrix} Y$$

وعند حذف الجزء المعلمي  $X$  و  $\beta$  من المعادلة (3)، نحصل على:

...

وسيظهر الممهد للبيانات  $Y$  للقيم المطابقة  $g$ , بالصيغة:

$$g = S(Y - X\beta) \quad \dots (4)$$

$$S = (I + \lambda K)^{-1}$$

ويمكن كتابة (3) بشكل معادتين آنيتين<sup>[5]</sup>:

$$X'X\beta = X'(Y - g) \quad \dots (5)$$

$$(I + \lambda K)g = (Y - X\beta) \quad \dots (6)$$

ويكون:

$$\hat{g} = (I + \lambda K)^{-1}(Y - X\hat{\beta}) \quad \dots (7)$$

$$\hat{\beta} = (X'X)^{-1}X'(Y - \hat{g}) \quad \dots (8)$$

إذ أثبت [Heckman , 1986]<sup>[5]</sup>، أن تقدير  $\hat{\beta}$  بهذا الأسلوب يكون تقديرًا متسقًا Consistent. فلو كانت  $g$  معلومة، فإن المعادلة (5) يمكنها تقدير  $\beta$  بالـ WLS للفروق  $[y_i - (Ng)]$ . أما لو كانت  $\beta$  معلومة، فإن المعادلة (6) يمكنها تقدير  $g$  بمطابقة للشريحة التمهيدية التكعيبية للفروق  $[y_i - X_i\beta]$ . وهنا يأتي دورـ Backfitting بعمل تقدير تناوبـي مابين (5) و (6). وهذا يمكن عمله دائمـاً طالما كانت القيم الذاتية للمصفوفة (S) ذات قيم ذاتية أقل من الواحد، أي أن:  $1 < |S|$ . ومن المفضل أن تبتدأ عملية التقدير بقيم  $\beta$  صفرية.

أما اختيار المعلمة التمهيدية الداخلة في تقدير دالة  $g$  فيمكن إيجادها بطرق عديدة. فالحالة الأعتيادية هي استعمال معيار GCV الإعتيادي وبالصيغة:

$$\min OGCV(\lambda) = \frac{\frac{1}{n} \sum_{i=1}^n \{y_i - X\beta - g_\lambda(t_i)\}^2}{\left[1 - \frac{\text{trace}(S(\lambda))}{n}\right]^2} \quad \dots (9)$$

فقيمة  $\lambda$  المثلثى هي التي تتحقق (9).

ولكن مع هذا قد يستعمل الباحثان أسلوباً إضافياً لإيجاد قيمة المعلمة التمهيدية بإفتراض قيمتها مسبقاً، أسوةً بالحالة اللامعلمية للـ backfitting، أي الأسلوب غير الآلي (الشخصي) كأسلوب آخر للتعامل مع تقدير المعلمة التمهيدية.

## 2.2.2 طريقة غير تكرارية

هنا لا تكون الحاجة إلى تكرارات لعملية التقدير يتم تحديثها في إطار تحسين المطابقة، وإنما يتم الحل بشكل مباشر عن طريق ماتدعى بالشريحة التمهيدية الجزئية Partial Smoothing Spline لتمثيل حل عام لنظام معادلات خطي. فعندما تكون القيمة الذاتية الكبرى من القيم الذاتية للـ "S" قريبة من الواحد، فسيكون تقارب backfitting بطيء جداً. ولذا كان لابد من إيجاد أسلوب بديل لحل معادلات (3) وبـ  $O(n)$  من العمليات الحسابية أيضاً، وبدون الحاجة لإعادة التكرار.

ف عند تعويض (4) في (5)، يتم الحصول على نظام خطى  $P \times P$  بالنسبة للـ  $\beta$ ، ويكون:

$$X'X\beta = X'(Y - S(Y - X\beta)) \quad \dots (10)$$

$$X'(I - S)X\beta = X'(I - S)Y \quad \dots (11)$$

$$\hat{\beta} = (X' \Omega X)^{-1} X' \Omega Y \quad \dots(12)$$

$$\hat{g} = S(Y - X\hat{\beta}) \quad \dots(13)$$

وبذا يمكن إستعمال (GLS) لحل المعادلات الطبيعية، بحيث أن:

$$\Omega = (I - S)$$

$\Omega$  : مصفوفة أوزان غير قطرية.

فعلى الرغم من أن  $S$  مصفوفة تمهد من درجة  $n \times n$ ، فكل ما يلزم فعله هو القيام بتمهيد كل عمود من أعمدة  $X$  البالغة  $p$ . وسيتم إنجاز هذه العملية بـ  $O(np)$  من العمليات الحسابية. وهذا ما يمكن عمله مع  $X(I-S)Y$ . وهذا ماسيبدو أسلوباً بسيطاً لتحليل التباين المشترك اللامعنى Nonparametric Covariance Analysis. ومن اللافت للنظر، أن المصفوفة  $S$  بهيئة مصفوفة وزن للإنحدار على  $X$ . وسيكون الحل وحيداً Unique ومتسقاً Consistent طالما وجدت معكوسة المصفوفة  $(I-S)X$ . في حين أن إستعمال أسلوب آخر، مثل تجزئة چولسكي Cholesky Decomposition لنظام  $p \times p$  قد يحتاج إلى  $O(n^2 p)$  من العمليات. ومع هذا فيجب الحذر عند التعامل مع هذه الطريقة لأنها لا يمكن تضمينها أساليب تجزئة متعددة لتلافي الحصول على مصفوفة  $p \times p$  وهي  $X(I-S)Y$  ، وبالتالي قد تكون هناك فرصه لظهور ما يدعى خطأ التدوير Rounding Error.

### 3.2.2 مقترن الشرائط الجزئية الحصينة Robust Partial Spline

إذ يتم تمثيل الباقي التي ستحتسب الوزن فيما بعد طبقاً لها، كالتالي:

$$r_i = \frac{y_i - x\beta - g}{\hat{\sigma}} \quad ; \quad i=1,2, \dots, n \quad \dots(14)$$

لتصغر المقدار:

$$\sum_{i=1}^n \hat{\sigma}^2 \rho \left\{ \frac{y_i - x\beta - g}{\hat{\sigma}} \right\} + \frac{1}{2} \lambda \int_{[0,1]} g''(t)^2 dt$$

ليصبح المقدر:

$$\begin{aligned} \hat{g} &= (W + \lambda K)^{-1} W(Y - X\hat{\beta}) \\ W &= diag(w_i) \end{aligned} \quad \dots(15)$$

بأوزان قطرية:

$$w_i = \frac{\psi(r_i)}{r_i} \quad \dots (16)$$

 $K$  : مصفوفة جزاء تربيعية متتماثلة ومن درجة  $n \times n$ 

$$\begin{aligned} K &= QR^{-1}Q' \\ \int g'(t)^2 dt &= \gamma' Q' g \\ &= \gamma' R \gamma \end{aligned} \quad \dots (17)$$

إذ أن:

باستعمال الشرط  $R\gamma = Q'g$ , يتم الحصول على  $\gamma$ : [1], [5], [3]

$$\begin{aligned} \int g'(t)^2 dt &= g' Q R^{-1} Q' g \\ &= g' K g \end{aligned}$$

$h_i = t_i - t_{i-1}$  ;  $i = 2, 3, \dots, n$  : يمثل متوجه المسافات (الفرق) بين أي المشاهدتين  $t_i$  و  $t_{i-1}$  ، وعناصره  $(h_i^{th})$ ، كالآتي:

$\gamma$ : متوجه المشتقات الثانية للدوال ( $g_i$ )، ومن درجة  $1 \times (n-2)$ .  $Q$ : مصفوفة **tridiagonal**  $n \times n$ . ويتم إحتساب عناصرها كالآتي:

where:

$$\left. \begin{array}{l} q(j-1, j) = h^{-1}(j-1) \\ q(j, j) = -h^{-1}(j-1) - h^{-1}(j) \\ q(j+1, j) = h^{-1}(j) \\ q(i, j) = 0, \forall |i-j| \geq 2 \end{array} \right\}$$

$$i=1,2, \dots, n ; j=2,3, \dots, n-1$$

$R$ : مصفوفة **tridiagonal** متتماثلة وبدرجة  $(n-2) \times (n-2)$ . ويتم إحتساب عناصرها كالآتي:

where:

$$\left. \begin{array}{l} r(i, i) = (1/3)[h(i-1) + h(i)]; i = 2, 3, \dots, n-1 \\ r(i, i+1) = r(i+1, i) = (1/6)h(i); i = 2, 3, \dots, n-2 \\ r(i, j) = 0; \forall |i-j| \geq 2 \end{array} \right\}$$

$$i=2,3, \dots, n-1 ; j=2,3, \dots, n-1$$

### 3.2 مقترن استعمال الأسلوب الشخصي

يتم استعمال الأسلوب الشخصي اختيار المعلمة التمهيدية في حالة ممهد واحد، بدلاً من الأسلوب الآلي المألف في مثل هذه الحالات<sup>[1]</sup>. إذ يمكن عمل ذلك عن طريق تثبيت قيمتها مسبقاً، قبل إجراء عملية تقدير GAM شبه المعلمي، في النموذج (1). فللمعادلة (7)، يمكن اعتبار  $\lambda$  بقيمة ثابتة، أي أن:

$$\lambda = \frac{\rho}{1-\rho} \quad \dots (18)$$

where:  $\rho \in [0,1]$

### 1.3 الجانب التجريبي

تم تنفيذ تجارب المحاكاة بلغة MATLAB البرمجية وباستخدام ثلاثة أحجام للعينات وكما يأتي: ( $n=50$ ) و ( $n=100$ ) و ( $n=200$ ). وبتكرارات ( $Replicates=300$ ) لكل تجربة. فالمتغيرات التوضيحية هي الـ  $t_j$  يتوزع عان توزيع منتظم قياسي مستقل لكل منها، أي:  $t_j \sim U(0,1)$ .

والأخطاء العشوائية تتوزع توزيعاً طبيعياً، أي:  $e_i \sim N(0, \sigma^2)$  ;  $i=1,2,\dots,n$  ;  $j=1,2$  .

يتم توليد الأخطاء العشوائية باستعمال طريقة Box-Muller وقد تم تناول ثلاثة مستويات من التباين على أساس S.N.R. :

$\sigma=(1/2)*Function\ Range$	: High Noise
$\sigma=(1/4)*Function\ Range$	: Medium Noise
$\sigma=(1/8)*Function\ Range$	: Low Noise

إذ أن  $e$  يمثل الإنحراف المعياري للخطأ.

أما التوزيع الآخر للخطأ العشوائي فهو التوزيع الملوث، ويستعمل في حالة تلوث البيانات بقيم شاذة. إذ تم توليد بيانات متغيرات تتبع التوزيع الملوث عن طريق توليد متغيرات تتبع التوزيع الطبيعي بالأسلوب السابق ذاته بنسبة (1- $\epsilon$ )، وتوليد متغيرات التوزيع الطبيعي ذاته لكن بتباين مختلف وبنسبة  $\epsilon$ ، إذ أن:  $1 \leq \epsilon \leq 0$  ، أي أن:

$$e \sim N(0, \sigma^2) ; \quad e^2 > 1 \quad \dots (19)$$

وعلى هذا الأساس سيتم توليد المتغير  $Y$  مباشرة من خلال النماذج المستخدمة في تجارب المحاكاة، وذلك باستخدام دوال الإنحدار بدلالة المتغيرين التوضيحيين اللذان تم توليدهما في الفقرة (I) أعلاه، مضافة اليهما الأخطاء العشوائية بأحد أشكالها سواء الملوث منها أم غير الملوث والتي تم توليدها في الفقرة (II)، وكل نموذج من النماذج قيد البحث.

### 2.3 النماذج المستعملة في المحاكاة

تم استعمال صيغة شبه المعلمية مشتقة من النماذج أدناه بحيث تكون :

$$Y_i = X\beta + g_2(t_{2i}) + e_i \quad \dots \quad (20)$$

$$X = \begin{bmatrix} 1 & t_1 \end{bmatrix} \quad \beta = \begin{bmatrix} b_0 \\ b_1 \end{bmatrix} \quad ;$$

وبذا كانت المركبة الثانية (اللامعلمية) من كل نموذج كما يأتي:

#### 1. النموذج الأول [11]

$$g_2(t_{2i}) = t_{2i}^3$$

إذ أن هذه الدالة من النوع **Spatially homogenous**

$$g_2(t_{2i}) = \begin{cases} -2t_{2i} & t_{2i} < 0.6 \\ -1.2 & t_{2i} \geq 0.6 \end{cases} \quad if \quad \dots \quad 2. \text{ النموذج الثاني} [6]$$

صيغة خطية لدالة تغير سلوكها الى صيغة ثابتة عندما ( $t_{2i} \geq 0.6$ ).

### 3.3 معايير مقارنة النماذج

هناك عدد من المعايير لقياس مقدار الجودة في تقدير النماذج، مع الأخذ بنظر الإعتبار تنوع النماذج (الظواهر) التي يراد توظيف الشرائح التمهيدية لتمثيلها. ومن هذه المعايير (والتي يتم اختيار الأصغر منها عندما يراد قياس الأفضلية):

#### 1. معيار AMSE [12]

ويمثل معدل متوسط مربعات الخطأ [Average of Mean Squared Error]، وبالصيغة:

$$AMSE = n^{-1} \sum_{i=1}^n E\{\eta_i - \hat{\eta}_i\}^2 \quad \dots \quad (21)$$

#### 2. معيار GCV [4]

من المعروف عن هذا المعيار إنه غالباً ما يستعمل في تحديد قيمة (أو قيم) المعلمة (أو المعلمات) التمهيدية، ضمن ما يعرف بالأساليب الآلية [6] المعدة لهذا الغرض، والمبنية في المعادلة (9). وهو يعتمد بصورة أساسية على درجات الحرية المكافحة .EDF

$$df_j = trace(S_j) - 1 \quad ; \quad j = 1, 2, \dots, p$$

فللمهد  $j$  فإن درجة حريته تكون:  $df_j = trace(S_j) - 1$ ، وبالتالي يحقق نتائجاً أقل تحيزاً من MSE [2]، وكما يأتي:

... (22)

$$OGCV = \frac{\frac{1}{n} \sum_{i=1}^n \{y_i - X\beta - g(t_i)\}^2}{\left[ 1 - \frac{trace(S)}{n} \right]^2}$$

#### 3. معيار AMDSE [11]

ويمثل معدل وسيط مربعات الخطأ [Average of Median Squared Error] وبالصيغة:

$$AMDSE = E\left(\text{Median}\{\eta_i - \hat{\eta}_i\}^2\right) \quad (23)$$

#### 4. معيار Concurvity<sup>[7]</sup>

وهو معيار يبين فيها معرفة قوة مشكلة الـ Concurvity، وبالصيغة:

$$\text{Concurvity} = E(\text{Corr}(\hat{Y}, \hat{Y}_{\text{new}})) \quad (24)$$

$$\hat{Y}_{\text{new}} = \hat{Y} + N(0, \sigma^2)$$

### 4.3 تنفيذ تجربة المحاكاة

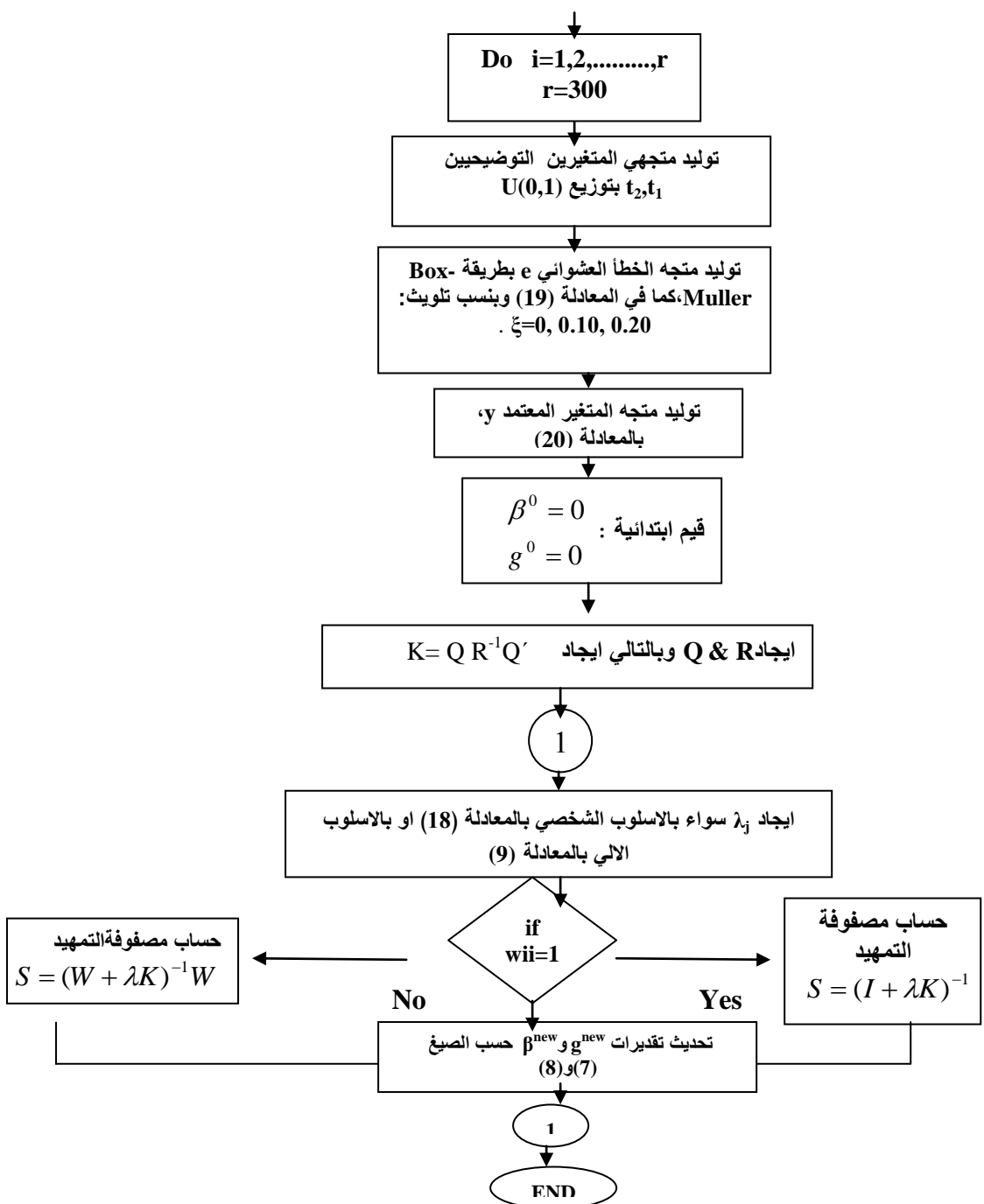
لكل النماذجين الوارددين في الفقرة (2.3) أعلاه، تم القيام بما يأتي :

1. توليد المتغيرات: توليد المتغير  $t_2$  التوضيحي ليتوزع توزيعاً منتظماً قياسياً (0,1)U. مع توليد أخطاء عشوائية تتبع توزيع Gaussian، ناهيك عن توزيع ملوث للخطأ العشوائي وهو التوزيع الملوث  $N(0,4)$ ، وينسب  $0.10, 0.20, 0=$ ، وبحسب المعادلة (19).
2. طريقة Backfitting: تستعمل الصيغة (9) متمثلة بالمعيار الأعتيادي OGCV لإختيار معلمة واحدة، ومن ثم تطبيق المعادلين (7) و (8) معاً، لإيجاد تقدير GAM شبه المعلمي.
3. الطريقة المباشرة: تستعمل الصيغة (9) متمثلة بالمعيار الإعتيادي OGCV عند اختيار معلمة تمهدية واحدة، ومن ثم تطبيق المعادلين (12) و (13) معاً، لإيجاد تقدير GAM شبه المعلمي.
4. إقتراح: تم إقتراح استعمال الأسلوب الشخصي لإختيار معلمة تمهدية واحدة كما في الصيغة (18)، وإيجاد تقدير GAM شبه المعلمي من المعادلين (7) و (8) معاً، وبأسلوب Backfitting كمحاولة لإختزال وقت تنفيذ المحاكاة مما يؤدي إلى فائد عملية.
6. إقتراح الشريحة الجزئية الحصينة: اختيار المعلمة التمهيدية بالأسلوب الآلي الإعتيادي وبمعيار OGCV كما في المعادلة (9)، وإيجاد مقدر GAM بتوظيف طريقة M الحصينة كما في المعادلة (15).

مخطط (1): أسلوب Backfitting لتقدير GAM شبه المعلمي الحصين وغير الحصين

```

graph TD
    Start([Start]) --> A[Backfitting]
    A --> B[Estimate Model]
    B --> C[Check Convergence]
    C --> D[Update Model]
    D --> E[Check Convergence]
    E --> F[Final Model]
    F --> End([End])
  
```



### 4.3 النتائج

1. **للنموذج الأول:** فمن نتائج الجدول (1) يلاحظ تفوق أسلوب backfitting عند أحجام العينات (n=100,200) وللمعيارين AMSE و AMDSE وكل أحجام العينات عند المعيارين GCV و Concurvity. ويتبين أن أسلوب PLS with OGCV كان له الأفضلية بالمعاييرين AMSE و AMDSE عند حجم العينة (n=50). وأن المعيار Concurvity يسجل إنخفاضاً واضحاً مع زيادة مقدمة في حجم العينة. أما بقية المعايير فهي تنخفض مع زيادة حجم العينة أيضاً ولكن مع ( $\sigma=1/2$ )، وتزداد فيما عداها. ويلاحظ كذلك التقارب والتشابه بين نتائج طريقتي backfitting و Direct عموماً. ولحالة التلوث، لم تتقدم الطريقة الحصينة المقترحة على مثيلاتها غير الحصينة، كما هو مبين في الجدول (2).
2. **للنموذج الثاني:** من نتائج الجدول (3) يلاحظ تفوق أسلوب backfitting وللمعيارين GCV و Concurvity وكل أحجام العينات عند المعيارين. ويتبين أن أسلوب PLS with OGCV كان له الأفضلية بالمعاييرين AMDSE و AMSE عند كل أحجام العينات. وأن المعيار Concurvity يسجل إنخفاضاً واضحاً مع زيادة مقدمة في حجم العينة. أما معيار AMSE فينخفض مع زيادة حجم العينة أيضاً ولكن مع ( $\sigma=1/2$ )، وبقية المعايير تزداد فيما عداها. ويلاحظ كذلك التقارب والتشابه بين نتائج طريقتي backfitting و Direct عموماً. أما حالة التلوث فقد أبدت الطريقة الحصينة المقترحة أفضلية، ولجميع أحجام العينات، كما هو مبين في الجدول (4).

### 1.4 الاستنتاجات

- يمكن إدراج الاستنتاجات الخاصة بالبحث على ضوء نتائج التحليل التجاري المقامة بالإعتماد إلى النموذجين قيد البحث، وكما يأتي:
1. إستطاعت الطريقة الحصينة أن تبني النموذج الثاني عند جميع أحجام العينات، في حين أخفقت الطريقة مع النموذج الأول ولجميع أحجام العينات.
  2. تبدأ قيم المعايير - ماعدا Concurvity - بالتقرب عند مستويات التباين المتوسطة والواطنة عند تثبيت حجم العينة.
  3. تبيّنت أمثلية إستعمال الأسلوب المباشر لتحليل GAM شبه المعلمي، عند حجم العينة (n=50) وذلك لسرعة الإنجاز وإختزال الوقت اللازم للتحليل، مقابل بعض التضحيّة الطفيفة بأفضلية هذه النتائج مقارنة مع الطريقتين الأخريين. وتكون أفضل طريقة للاستعمال في الحالات شبه المعلمية هي طريقة Backfitting المقترحة لحجم العينة (n=100) في حين يفضل إستعمال أسلوب OGCV عند حجم العينة (n=200).

**المصادر العربية:**

1. علي، عمر عبد المحسن؛ (2007)؛ "مقارنة مقدرات النماذج التجميعية المعتمدة باستخدام الشرائح التمهيدية عند تحليل الإنحدار اللامعلمي وشبكة المعلمي"؛ أطروحة دكتوراه في الأحصاء، كلية الادارة والاقتصاد، جامعة بغداد.

**المصادر الأجنبية:**

2. Buja, A.; Hastie, T.J. and Tibshirani, R.J; (1989); "Linear smoothing and additive models" (with discussion); Annals of Statistics; Vol.17; pp. 453-555.
3. Canotoni, E.; and Ronchetti, E.; (2001); "Robust inference for Generalized Linear Models"; JASA, Vol.96, No. 455, pp. 1022-1030.
4. Eubank, R.L.; (1988); "Spline smoothing and nonparametric regression"; Marcel Dekker, New-York.
5. Green; P.J. and Silverman ; B.W.; (1994); "Nonparametric regression and generalized linear models: A roughness penalty approach"; Chapman and Hall, London.
6. Hastie, T.J and Tibshirani, R.J.; (1990); "Generalized additive models"; Chapman and Hall, London .
7. He, Shui; (2004); "Generalized additive models for data with concurvity: statistical issues and a novel model fitting approach"; Ph.D. Dissertation, School of public health, University of Pittsburgh.
8. Kauermann, G.; (2005); "Non- and Semiparametric Models and their estimation"; Physica-Verlag 0, ISSN 0002-6018. <http://www.uni-bielefeld.de/~kauermann>.
9. Liu, A.; Meiring, W.; and Wang, Y.; (2005); "Testing generalized linear models using smoothing spline methods"; Statistica Sinica; Vol. 15, pp. 235-256.
10. Osullivan, F; Yandell, B.S; and Raynor, W.J.; (1986); "Automatic smoothing for regression functions in generalized linear models"; JASA; Vol.81; No393, pp.96 -103.
11. Ruppert, D.; and Carroll, R.J.; (2000); "Spatially-Adaptive Penalties for Spline Fitting "; Australian & New-Zealand J.Statist., Vol.42, No.2, pp. 205-223.
12. Wahba, G; ( 1990); "Spline models for observational Data"; SIAM: Society for Industrial and Applied Mathematics Philadelphia, PA.
13. Wang, M.; (1989); "Semiparametric Model for Randomly Truncated Data"; JASA, Vol.84, No.407, pp. 742-748.
14. Wood, S.; Kohn, R.; Shively, T.; Jiang, W.; (2002); "Model Selection in Spline Nonparametric Regression"; J.R.Statist.Soc.B., Vol. 64, Part1, pp. 119-139.